

# Esperienza Ottica - Microonde

F. Ballo, S. Franceschina, S. Dolci - Gruppo T1 39

June 10, 2024

## Abstract

Nella seguente relazione vengono presentati i risultati ottenuti dalla quinta esperienza del corso di Laboratorio II riguardante l'analisi di fenomeni ottici che rientrano nel campo della spettrometria. L'obiettivo di questa esperienza è quello di capire come identificare un elemento una volta noto il suo spettro di emissione.

## Contents

<b>1</b>	<b>Configurazione setup esperienza</b>	<b>2</b>
<b>2</b>	<b>Prisma</b>	<b>2</b>
2.1	Caratterizzazione del prisma . . . . .	3
2.2	Identificazione del gas ignoto . . . . .	4
2.2.1	Considerazioni sugli errori . . . . .	4
<b>3</b>	<b>Reticolo di diffrazione</b>	<b>4</b>
3.1	Caratterizzazione del reticolo . . . . .	4
3.2	Identificazione del gas ignoto . . . . .	4
<b>4</b>	<b>Tabelle</b>	<b>5</b>

# 1 Configurazione setup esperienza

Per le misure di questa esperienza abbiamo utilizzato:

- Uno spettrometro PASCO scientific Modello SP-9416, manuale qui.
- Lampade ad incandescenza Hg, Na e gas ignoti.
- Prisma di vetro.
- Reticoli di diffrazione 300/600/1200 (linee/mm).

Prima della presa di misure abbiamo verificato la calibrazione degli strumenti regolando la messa a fuoco e l'apertura della fenditura usando come sorgente test una lampada al sodio. Per configurare lo strumento abbiamo seguito le istruzioni riportate sul manuale PASCO.

## 2 Prisma

La prima parte dell'esperienza ha come obiettivo la caratterizzazione dell'indice di rifrazione del prisma, grazie al quale è poi possibile avanzare delle ipotesi sulla natura del gas ignoto analizzato in seguito. Come configurazione, sia per la sezione di caratterizzazione del prisma che per quella di identificazione del gas ignoto, abbiamo utilizzato il setup riportato in figura 1.

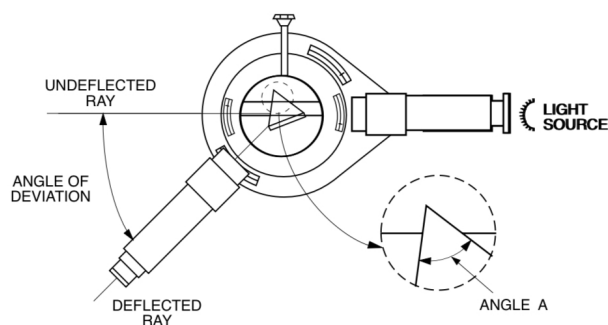


Figure 1: Configurazione spettrometro con prisma per misure d'angolo

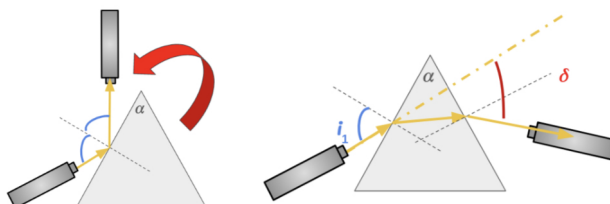


Figure 2: Configurazione prisma

## 2.1 Caratterizzazione del prisma

Dopo aver riprodotto la configurazione, abbiamo utilizzato una lampada al mercurio come sorgente. Per misurare l'angolo di minima deviazione  $\delta$ , abbiamo ruotato il piano su cui poggiato il prisma fino a quando la riga spettrale osservata non appariva fermarsi e invertire la direzione di spostamento.

Al fine di accertarci che l'errore sulle misure fosse di tipo gaussiano, abbiamo ripetuto la misura diverse volte; un'analisi più approfondita sugli errori è trattata nella sezione \*\*\*\*\*. A questo punto abbiamo calcolato l'indice di rifrazione del prisma per le diverse lunghezze d'onda utilizzando la relazione

$$\sin\left(\frac{\delta + \alpha}{2}\right) = n \sin\left(\frac{\delta}{2}\right)$$

e risolvendo per  $n$ . Al fine di caratterizzare il prisma, ci siamo serviti della relazione di Cauchy (1), troncata al secondo termine, che lega l'indice di rifrazione  $n$  alla lunghezza d'onda  $\lambda$ .

$$n(\lambda) = A + \frac{B}{\lambda^2} \quad (1)$$

Riportiamo in figura 3 il fit ottenuto e i parametri  $A$  e  $B$  ottenuti.

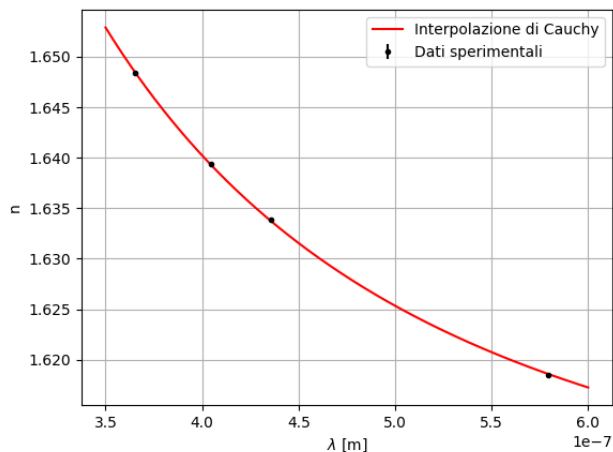


Figure 3: Interpolazione secondo la relazione di Cauchy

Il fit ha restituito i seguenti valori dei parametri:

- $A = 1.599 \pm 0.0003$
- $B = (0.0061 \pm 0.0005)\mu\text{m}$
- $\tilde{\chi}^2 = 1.0$

## 2.2 Identificazione del gas ignoto

Abbiamo riprodotto la configurazione riportata in figura 1, analogamente a quanto fatto per la caratterizzazione del prisma. Al posto della lampada al mercurio abbiamo posizionato una lampada contenente un gas ignoto. Lo scopo di questa sezione è stato quello di identificare il gas tramite il suo spettro di emissione, avendo individuato i parametri  $A$  e  $B$  della relazione 1, caratteristici del prisma utilizzato. Abbiamo analizzato quattro righe spettrali di colori rosso, giallo, verde e viola, per ciascuna delle quali abbiamo misurato l'angolo di minima deviazione in maniera analoga a quanto fatto per la caratterizzazione del prisma. Abbiamo ripetuto la misura per ciascuna riga spettrale più volte e calcolato la media e la deviazione standard della media; i valori ricavati per gli errori sono stati confrontati con la sensibilità dello strumento (1 primo) e abbiamo deciso di considerare come errore la sensibilità, perchè la deviazione standard della media era minore.

Alla stessa maniera di quanto svolto nella caratterizzazione del prisma, abbiamo calcolato i valori di  $n$  per ciascuna lunghezza d'onda tramite la relazione  $\sin(\frac{\delta+\alpha}{2}) = n \sin(\frac{\delta}{2})$ . Infine, esplicitando  $\lambda$  nella relazione 1 abbiamo calcolato i valori di  $\lambda$  per ciascuna riga spettrale. Abbiamo confrontato i valori ottenuti con le lunghezze d'onda tabulate sul sito del NIST, ma con scarsi risultati. (Discutiamone insieme per capire cosa fare) Riportiamo in tabella 1 i valori delle lunghezze d'onda del gas ignoto e dei gas nobili.

$\lambda_{ignota}$ [nm]	<b>Errore</b> [nm]	$\lambda_{He}$ [nm]	$\lambda_{Ne}$ [nm]	$\lambda_{Ar}$ [nm]
406	2	447	471	440
513	4	471	540	458
568	5	587	585	472
676	8	667	640	696

Table 1: Lunghezze d'onda dei gas con valori ed errori per il gas ignoto, colorati secondo la loro lunghezza d'onda.

### 2.2.1 Considerazioni sugli errori

Per stimare gli errori sui gradi abbiamo deciso di ripetere la misura dell'angolo di minima deviazione più volte e considerare la deviazione standard della media. Ciò era necessario affinché l'errore considerato fosse di tipo gaussiano. In ogni caso, confrontando la deviazione standard della media con la sensibilità dello strumento (1 primo), abbiamo deciso di considerare come errore la sensibilità, perchè la deviazione standard della media era minore.

## 3 Reticolo di diffrazione

### 3.1 Caratterizzazione del reticolo

### 3.2 Identificazione del gas ignoto

## 4 Tabelle